

УДК 539.21 : 539.12.04; 548 : 539.12.0.4

## ЭЛЕКТРИЧЕСКОЕ ДИПОЛЬНОЕ ЭХО ДВУХУРОВНЕВЫХ СИСТЕМ В ДИЭЛЕКТРИЧЕСКИХ СТЕКЛАХ

*B. C. Кузьмин, A. P. Сайко*

Теоретически обсуждено влияние асимметрии потенциала двухуровневых систем в диэлектрических стеклах на формирование сигналов когерентного излучения в виде электрического эха при сверхнизких температурах. Установлено, что учет асимметрии потенциала приводит к зависящей от амплитуды переменного электрического поля  $F_0$  перенормировке дипольного момента двухуровневых систем. Показано, что при этом становится возможной генерация электрического эха на  $n$ -й гармонике ( $n \geq 2$ ), вероятность которой увеличивается при возрастании  $F_0$ , в то время как вероятность возбуждения эха на первой гармонике уменьшается. Получено хорошее соответствие теоретических оценок и экспериментальных результатов по генерации первичного и стимулированного эха на первой гармонике в кварце. На примере этого материала обсуждена возможность возбуждения эха на второй гармонике.

Одним из убедительных обоснований модели двухуровневых систем (ДУС) [1, 2] является обнаружение когерентных сигналов типа эха в диэлектрических стеклах при импульсном возбуждении электрическими и звуковыми полями [3–5] при сверхнизких температурах. Теоретическое описание сигналов эха в стеклах обычно проводится в рамках псевдоспинового формализма на основе гамильтониана [5]

$$\mathcal{H} = ES_z + \frac{\Delta}{E} (\text{pe}) F(t) S_x + \frac{\Delta_0}{E} (\text{pe}) F(t) S_x, \quad (1)$$

полученного из гамильтониана [6]

$$\mathcal{H} = \Delta S_x + (\text{pe}) F(t) S_x - \Delta_0 S_x \quad (2)$$

при помощи преобразования

$$S_x \rightarrow S_x \Delta_0 / E + S_x \Delta / E,$$

$$S_x \rightarrow S_x \Delta / E - S_x \Delta_0 / E.$$

В (1) и (2) через  $\Delta$  и  $\Delta_0$  обозначены параметры асимметрии двухъярмного потенциала и туннелирования соответственно;  $p$  — электрический дипольный момент ДУС;  $e$  — поляризация внешнего резонансного поля;  $E = (\Delta^2 + \Delta_0^2)^{1/2}$ ;  $S_x$ ,  $S_z$  — спиновые операторы;  $F(t) = F_0 \cos \omega t$ .

В повернутой системе координат (2) похож на гамильтониан, описывающий поведение спина ( $S=1/2$ ) в постоянном  $H_0$  и переменном  $H_1$  магнитных полях, направленных под углом  $\theta \neq \pi/2$  друг к другу [7],

$$\mathcal{H} = g_{\parallel} \beta H_0 S_z + g_{\perp} \beta H_1 \cos \theta \cos \omega t S_x + g_{\perp} \beta H_1 \sin \theta \cos \omega t S_x, \quad (3)$$

где  $g_{\parallel}$  и  $g_{\perp}$  — продольная и поперечная компоненты  $g$ -фактора,  $\beta$  — магнетон Бора. Как видно (3), кроме поперечного взаимодействия, отвечающего за переходы между уровнями, содержит еще «продольное» взаимодействие, обусловливающее модуляцию энергетического расщепления. После применения унитарного преобразования

$$R = \exp [i (g_{\parallel} \beta H_1 \cos \vartheta / \omega) \sin \omega t S_z]$$

в приближении вращающейся волны эффективный гамильтониан будет

$$\mathcal{H}_{\text{eff}} = R \mathcal{H} R^{-1} - i R \frac{\partial R^{-1}}{\partial t} = g_{\parallel} \beta H_0 S_z + g_{\perp} \beta H_1 \sin \vartheta [S^+ \exp (-i (\omega t - \varphi(t))) + \text{с. с.}],$$

где  $\varphi(t) = g_{\parallel} \beta H_1 \cos \vartheta \sin \omega t / \omega$ .

Таким образом, в системе координат, повернутой относительно оси  $oz$  на угол  $\varphi(t)$ , на систему спинов воздействует фазово-модулированное поле, индекс модуляции которого  $m = g_{\parallel} \beta H_1 \cos \vartheta / \omega$  зависит от его амплитуды. Из теории колебаний известно, что спектр фазово-модулированного колебания состоит из бесконечного числа боковых составляющих частоты  $\omega_n = n\omega$ , амплитуды которых пропорциональны  $\sim J_n(m) g_{\perp} \beta H_1 \sin \vartheta$ , где  $J_n(m)$  — функция Бесселя  $n$ -го порядка. Если  $\omega$  меньше  $\omega_0 = g_{\parallel} \beta H_0$  в  $n$  раз, то в резонанс попадает лишь  $n$ -я боковая составляющая, что и обуславливает возбуждение системы и последующее появление различных нелинейных эффектов.

В ЭПР такой случай обсуждался теоретически и экспериментально на  $E'$ -центрах в кварце, где наблюдались сигналы нутации [8, 9], индукции и эха [10, 11] на второй гармонике.

Имея в виду отмеченную выше аналогию гамильтонианов (1) и (3), представляет интерес распространить эти идеи на поведение ДУС в стеклах во внешних импульсных переменных полях с целью объяснения наблюдающихся в них сигналов электрического дипольного эха (с учетом, конечно, специфики стекла как неупорядоченной среды). В имеющихся теоретических работах [5] по расчету дипольного эха в стеклах обычно пренебрегают асимметрией двухъяблонного потенциала, что оправдано при небольших амплитудах внешнего поля ( $(pe)F_0/\omega \ll 1$ ), когда частота Раби мала по сравнению с частотой перехода. В общем же случае учет асимметрии может привести к существованию в стеклах отмеченных выше нелинейных явлений, если рассматривать ДУС в качестве активных «примесей». Для некогерентного режима учет асимметрии был сделан в [12], где обсуждалось его влияние на резонансное (электромагнитное, акустическое) поглощение в стеклах.

В настоящей работе мы покажем, что учет асимметрии двухъяблонного потенциала в задаче о возбуждении когерентных откликов типа эха в диэлектрических стеклах не только объясняет экспериментальные данные по генерации эха на первой гармонике, но и позволяет предсказать ряд новых особенностей, которые вполне можно обнаружить экспериментально. Для определенности в дальнейшем речь будет идти об электрическом дипольном эхо.

Пусть совокупность ДУС, описываемая (1), подвергается воздействию двух импульсов электрического поля длительностью  $t_1$  и  $t_2$  и задержкой между ними  $\tau$ , причем  $t_1, t_2$  и  $\tau$  меньше всех времен релаксации стекла (когерентный режим).

Для выделения возможных резонансных явлений применим к (1) универсальное преобразование вида [7]

$$R(t) = \left\{ i S_z \left[ \omega (q+1) t + \frac{\Delta}{E} a \sin \omega t \right] \right\}, \quad a = \frac{(pe) F_0}{\hbar \omega}, \quad (4)$$

которое эквивалентно переходу во вращающуюся с частотой  $\omega(q+1)$  и осциллирующую по закону  $\sin \omega t$  систему координат. После соответствующих преобразований приходим к гамильтониану

$$H_R = [E - \omega(q+1)] S_z + \frac{\Delta_0}{E} (pe) F_0 \sum_{n=-\infty}^{\infty} J_n \left( a \frac{\Delta}{E} \right) [S_+ e^{i(n+q)\omega t} + \text{с. с.}], \quad (5)$$

из которого видно, что взаимодействие псевдоспина с импульсным полем частоты  $\omega$  в системе координат (4) свелось к «поперечному» взаимодействию

ствию с полями, частоты которых кратны  $\omega$ . Если ширина линии  $\sigma < \omega$ , то в резонансе будет находиться лишь та гармоника, частота которой  $\omega(q+1) \approx E$ , а влиянием остальных можно пренебречь (секулярное приближение). Тогда (5) будет

$$H_R = [E - \omega(q+1)] S_x + \frac{\Delta_0}{E} (pe) \mathcal{J}_{-q} \left( \frac{\Delta}{E} \right) F_0 S_x. \quad (6)$$

Гамильтониан (6) становится тождественным гамильтониану, применяемому при расчетах дипольного эха в стеклах [5], но с перенормированным дипольным моментом  $p \rightarrow p \mathcal{J}_{-q} \left( a \frac{\Delta}{E} \right)$ ,  $\mathcal{J}_{-q} \left( a \frac{\Delta}{E} \right)$  — функция Бесселя  $q$ -го порядка. Аргументом функции Бесселя является отношение  $\Delta (pe) F_0 / \hbar \omega E$ , зависящее от параметра асимметрии и амплитуды поля.

Применяя далее известную схему вычислений сигналов эха [13] с помощью (6) при  $F_0 \neq 0$  (во время действия импульсов) и  $F_0 = 0$  (в промежутке между импульсами и после окончания второго импульса) для  $v$ -компоненты поляризованности на  $(q+1)$ -й гармонике получим

$$v^{(q+1)}(t) = v_0^{(q+1)} \sin \vartheta_1 \sin^2 \frac{\vartheta_2}{2} \cos \delta\omega(t - 2\tau) \cos \left( a \frac{\Delta}{E} \varphi \right), \quad (7)$$

$$\vartheta_{1,2} = \frac{\Delta_0}{E} \psi_{1,2}, \quad \psi_{1,2} = (pe) F_0 t_{1,2} \mathcal{J}_{-q} \left( a \frac{\Delta}{E} \right), \quad \delta\omega = E - \omega(q+1),$$

$$\varphi = \sin \omega(\tau + t_1 + t_2) + \sin \omega(\tau + t_1) - \sin \omega t_1$$

— набег фазы, возникший за счет учета «продольного» взаимодействия в (1).

Выражение (7) необходимо просуммировать по всем возможным значениям  $\delta\omega$  и реализациям параметра  $r = \Delta_0^2/E^2$ , как это делается, например, при расчетах ультразвукового поглощения, теплоемкости и теплопроводности стекол при сверхнизких температурах [6, 14]. Согласно этим работам, соответствующая функция распределения имеет вид

$$\mathcal{P}(r) = \frac{1}{2} \mathcal{F} r^{-1} (1-r)^{-\frac{1}{2}}, \quad \mathcal{F} + \text{const.}$$

Выражая в (7)  $\Delta_0/E$  и  $\Delta/E$  через  $r$  и полагая, что контур неоднородно-уширенной линии описывается гауссианом, окончательно получим следующие выражения для амплитуды и интенсивности первичного эха

$$\langle v^{(q+1)}(2\tau) \rangle = v_0^{(q+1)} \int_{r_{\min}}^1 \cos \left( \sqrt{1-r} \frac{a\varphi}{3} \right) \sin \left( \frac{\sqrt{2}}{3} \psi_1 \right) \sin^2 \left( \frac{\sqrt{2}}{6} \psi_2 \right) \mathcal{P}(r) dr, \quad (8)$$

$$\mathcal{J}^{(q+1)}(2\tau) = \mathcal{J}_0^{(q+1)} \int_{r_{\min}}^1 \cos \left( \sqrt{1-r} \frac{a\varphi}{3} \right) \sin^2 \left( \frac{\sqrt{2}}{3} \psi_1 \right) \sin^4 \left( \frac{\sqrt{2}}{6} \psi_2 \right) \mathcal{P}(r) dr. \quad (9)$$

Аналогичные выражения были получены нами и для стимулированного эха, однако из-за громоздкости соответствующих формул мы их в статье не приводим.

Анализ (8) и (9) показывает, что учет асимметрии потенциала ДУС приводит к возможности генерации эха на  $n$ -й гармонике, амплитуда и интенсивность которого зависят от значения аргумента функции Бесселя. При его увеличении (за счет возрастания  $F_0$ ) вероятность многоквантового возбуждения эха повышается, а вероятность одноквантового — уменьшается. Следовательно, эхо на  $n$ -й гармонике желательно наблюдать при больших амплитудах переменного поля. Заметим, что «продольное» взаимодействие оказывается и на сигнал эха на первой гармонике ( $q=0$ ), если, конечно, амплитуда поля не слишком мала. В экспериментах по дипольному эхо в кварце [15], например  $F_0$  варьировалась до 600 в/см, что соответствует аргументу функции Бесселя  $\sim 0.7$ , т. е. наблюдение сигналов

эха на  $n$ -й гармонике вполне достижимо с экспериментальной точки зрения.

Анализ экспериментальных данных по возбуждению электрического эха в диэлектрических стеклах показывает, что не все особенности отклика поддаются теоретическому объяснению. Среди них можно упомянуть отсутствие переходящих через нуль осцилляций амплитуды эха при увеличении  $F_0$  [4], хотя выражение (7) при  $t=2\tau$ ,  $t_1=t_2$  и  $q=0$ ,  $\Delta=0$  предсказывает переход через нуль. Численный расчет, проделанный нами по формуле (8) при  $t=2\tau$ ,  $q=0$ ,  $t_1=t_2=0.9$  мс,  $\omega=710$  МГц [4] и различных значениях нижнего предела  $r_{\min}$  (рис. 1), показал наличие двух максимумов в положительной области, что согласуется с экспериментом [4]. Оценка положения первого максимума обнаружила сдвиг  $\langle v^{(1)}(2\tau) \rangle$  от положения  $\vartheta=2\pi/3$ , предсказываемого формулой (7) при  $q=0$  и  $\Delta=0$ . Это позволило уточнить значение дипольного момента ДУС, которое оказалось равным  $\sim 6.3$  Дебая вместо 5 Дебаев, полученным в [4]. Ход  $\langle v^{(1)}(2\tau) \rangle$  очень чувствителен к значению  $r_{\min}$  (рис. 1), причем величина первого максимума слабо зависит от  $r_{\min}$ , в то время как у второго максимума эта зависимость существенна. В своих расчетах мы ограничились значением  $r_{\min}=0.001$ , поскольку при дальнейшем уменьшении  $r_{\min}$  вид  $\langle v^{(1)}(2\tau) \rangle$  практически не меняется. Если иметь в виду связь  $r_{\min}=\exp[-2(\lambda_{\max}-\lambda_{\min})]$  [14], то можно оценить разность между максимальным и минимальным значениями туннельного интеграла  $\lambda_{\max}-\lambda_{\min}$ .

Обратимся теперь к эксперименту [15], в котором изучались первичное и стимулированное электрическое эхо на первой гармонике ( $q=0$ ) в кварце при температурах от 5 до 20 мК на частоте 360 МГц. Исследование полевой и температурной зависимостей интенсивности эха показало, что в кварце наблюдаются сигналы от двух типов ДУС, которые отличаются величиной дипольного момента и концентрациями. Обработка полученных данных с помощью (1), но без учета «продольного» взаимодействия позволила авторам определить дипольные моменты обоих типов ДУС и их концентрацию, но не смогла объяснить полевой ход отклика (рис. 2). В рамках обычной теории трудно трактовать «плато» в полевом ходе отклика: должно наблюдаться два четко разделенных максимума, соответствующих двум типам ДУС с разными дипольными моментами. Проделанные нами численные расчеты по формуле

$$\mathcal{I}^{(1)}(2\tau) = \mathcal{I}_1^{(1)}(2\tau) + A \mathcal{I}_2^{(1)}(2\tau) \quad (10)$$

с учетом экспериментальных данных [15] для обоих типов ДУС ( $\rho e_1=0.1$  Дебая,  $(\rho e)_2=5 \cdot 10^{-3}$  Дебая,  $t_2=2t_1=0.6$  мс  $A=9$  (коэффициент, учитывающий различие в концентрациях двух типов ДУС) показали удовлетворительное соответствие с экспериментом (рис. 2). Расчеты стимулированного эха, проведенные по формуле, аналогичной (10), приведены на рис. 3. Худшее по сравнению с первичным эхом соответствие с экспериментом объясняется тем, что к моменту генерации стимулированного эха начинает действовать релаксация, приводящая к уменьшению сигнала. В на-

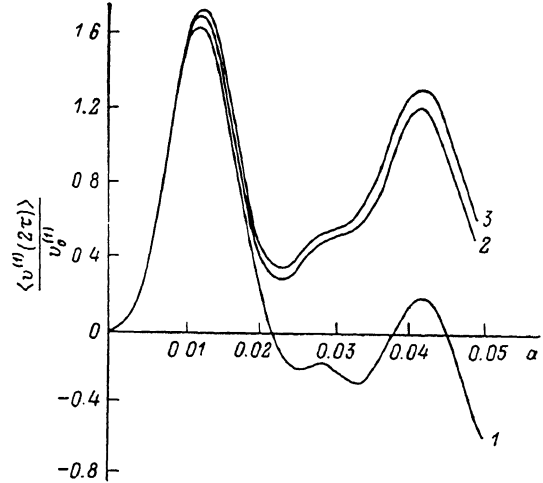


Рис. 1. Полевая зависимость амплитуды первичного электрического эха на первой гармонике при  $r_{\min}=0.1$  (1), 0.01 (2), 0.001 (3).

ших же расчетах релаксация не учитывалась. Общим для обеих теоретических кривых является наличие осцилляций, которые по мере увеличения  $F_0$  сглаживаются, приобретают вид «ряби» и затем исчезают совсем.

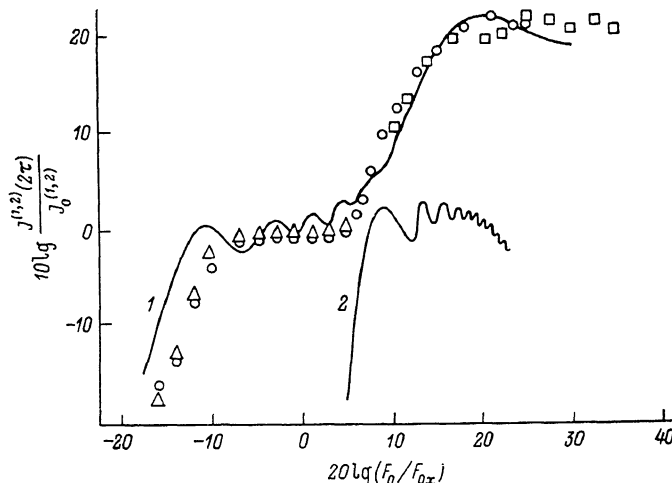


Рис. 2. Полевая зависимость интенсивности первичного электрического эха на первой (1) и второй (2) гармониках в кварце.

Кружочки, прямоугольники и треугольники — экспериментальные данные [18], сплошные линии — теоретический расчет.

Как уже нами упоминалось, роль «продольного» взаимодействия становится существенной при больших амплитудах переменного поля, т. е. при больших аргументах функции Бесселя. Из рис. 1 видно, что обоим

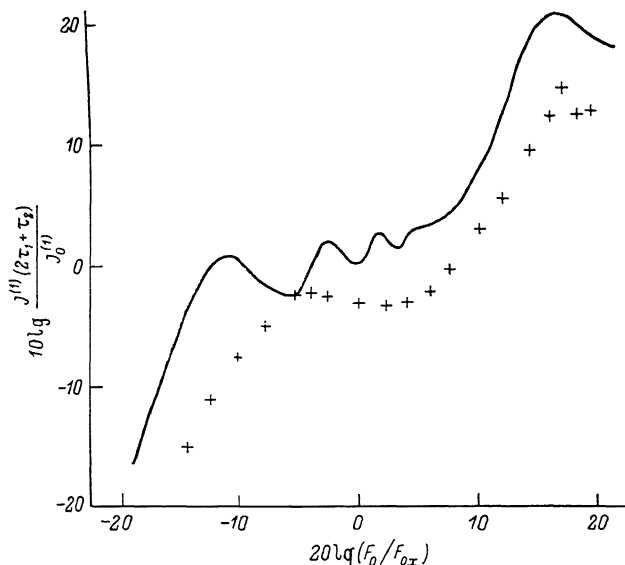


Рис. 3. Полевая зависимость интенсивности стимулированного электрического эха на первой гармонике в кварце.

Крестики — экспериментальные данные [18], сплошная линия — теоретический расчет,  $\tau_1$  ( $\tau_2$ ) — задержка между первым и вторым (вторым и третьим) импульсами.

максимумам соответствуют небольшие значения аргумента, так что наличие функции Бесселя в выражениях для площадей импульсов вряд ли в состоянии изменить положение максимума по сравнению со случаем  $q=0$ ,  $\Delta=0$ . Поэтому наблюдающийся сдвиг максимума от положения  $2\pi/3$  скорее всего обязан интегрированию по реализациям  $r$ . Во втором же

случае (рис. 2) «продольное» взаимодействие сильнее влияет на интенсивность отклика, поскольку в эксперименте [1] использовались очень большие  $F_0$ . Далее представляет интерес обсудить возможность генерации эха на второй гармонике в условиях эксперимента [15]. Численные расчеты по формуле, аналогичной (10), но при  $q=1$  (рис. 2), показывают, что данный отклик формируется при вполне достижимых в эксперименте амплитудах поля. Полевая зависимость  $\mathcal{J}^{(2)}(2\tau)$ , так же как и для одноквантового случая ( $q=0$ ), испытывает осцилляции, постепенно затухающие по мере увеличения  $F_0$ . Обращает на себя внимание большая крутизна начального участка  $\mathcal{J}^{(2)}(2\tau)$  по сравнению с  $\mathcal{J}^{(1)}(2\tau)$ . Если в выражении для амплитуды эха (8) разложить подынтегральную функцию по степеням  $(pe) F_0$  и ограничиться первым членом разложения, то получим

$$\langle v^{(q+1)}(2\tau) \rangle = v_0^{(q+1)} \frac{[(pe) F_0]^{3(q+1)}}{\omega^{3q}} t_1 t_2^3 \int_{r_{\min}}^1 r^{3/2} (1-r)^{3/2} \mathcal{P}(r) dr.$$

Видно, что амплитуда эха на первой гармонике ( $q=0$ ) пропорциональна кубической степени поля, в то время как на второй гармонике ( $q=1$ ) — шестой степени поля. Этим и объясняется различная крутизна начальных участков  $\mathcal{J}^{(2)}(2\tau)$  и  $\mathcal{J}^{(1)}(2\tau)$ .

Физически возникновение сигналов эха на  $n$ -й гармонике в диэлектрических стеклах можно объяснить следующим образом. Внешнее электрическое поле частоты  $\omega < E$  в (1) наряду с возбуждением квантового перехода («поперечная» компонента) вызывает модуляцию энергетического расщепления ДУС («продольная» компонента). Спектр возбуждения в результате суперпозиции этих компонент содержит гармоники на кратных  $\omega$  частотах, вследствие чего одна из гармоник может попасть в резонанс ( $n\omega \approx E$ ). В процессе такого возбуждения ДУС участвует один «поперечный» и  $q$  «продольных» фотонов, суммарная частота которых  $\omega (q+1) \approx E$ , т. е. реализуется  $(q+1)$ -фотонный параметрический резонанс [16]. Возбужденная таким образом система генерирует сигнал эха на частоте  $\omega (q+1)$ .

Таким образом, учет асимметрии двухъя姆ного потенциала в задаче о возбуждении когерентного излучения дипольного электрического эха в диэлектрических стеклах приводит к возможности генерации отклика на кратных частоте возбуждения гармониках. Полученные в настоящей работе результаты можно обобщить и на случай фононного эха в стеклах при соответствующей замене параметров исходного гамильтониана.

Выражаем благодарность М. Г. Смольговской за помощь в проведении численных расчетов.

#### Л и т е р а т у р а

- [1] Anderson P. W., Halperin B. I., Varma C. M. Phil. Mag., 1972, vol. 25, N 1, p. 1—9.
- [2] Phillips W. A. J. Low Temp. Phys., 1972, vol. 7, p. 351—358.
- [3] Graebner J. E., Golding B. Phys. Rev., 1979, vol. 19, N 3, p. 964—973.
- [4] Schickfus M. V., Golding B., Arnold W., Hunklinger S. J. Phys., 1978, Colloq. C 6, Suppl. N 8, p. 959—960; Piche L. J. Phys., 1978, Colloq. C 6, Suppl. N 8, vol. 39, p. 1545—1552.
- [5] Смоляков Б. П., Хаймович Е. П. УФН, 1982, т. 136, № 2, с. 317—343.
- [6] Jäckle J. Z. Phys., 1972, Bd 257, N 4, S. 212—223.
- [7] Pegg D. T. J. Phys. B, 1973, vol. 6, № 2, p. 241—245; Зверев В. В., Показаньев В. Г. Опт. и спектроск., 1973, т. 35, № 3, с. 564—566.
- [8] Boscaino R., Gelardi F. M., Messina G. Phys. Rev. A, 1986, vol. 33, N 5, p. 3076—3082.
- [9] Кузьмин В. С., Яшин А. Н. Опт. и спектроскоп., 1987, т. 62, № 6, с. 1312—1314.
- [10] Boscaino R., Gelardi F. M., Messina G. Phys. Rev. A, 1983, vol. 28, N 1, p. 495—497; Phys. Lett. A, 1983, vol. 97, N 9, p. 413—416.
- [11] Kusmin V. S., Sayko A. P. Springer Series in Solid State Sci., Berlin: Heidelberg, Springer Verlag, 1984, vol. 51, p. 455—456; Кузьмин В. С., Яшин А. Н. ЖПС, 1987, т. 46, № 5, с. 835—840.
- [12] Гальперин Ю. М. ФТТ, 1983, т. 25, № 9, с. 2747—2754; Laikthman B. D. Phys. Rev. B, 1984, vol. 29, N 9, p. 3601—3606.
- [13] Маныкин Э. А., Самарцев В. В. Оптическая эхо-спектроскопия. М.: Наука, 1984. 270 с.

- [14] Bhattacharya A. Contemp. Phys., 1981, vol. 22, N 4, p. 117—127.
- [15] Bernard L., Saint-Paul M., Joffrin J. J. Phys. Lett., 1979, vol. 40, N 22, p. 593—597; J. Low Temp. Phys., 1982, vol. 49, N 3, 4, p. 195—212.
- [16] Александров Е. Б., Константинов О. В., Перель В. И., Ходовой В. А. ЖЭТФ, 1963, т. 45, № 3(9), с. 503—509; Ходовой В. А. ЖЭТФ, 1964, т. 46, № 1, с. 331—338.

Институт физики твердого тела  
и полупроводников АН БССР  
Минск

Поступило в Редакцию  
22 июня 1987 г.  
В окончательной редакции  
16 ноября 1987 г.

---